

# Оптимизация и планирование траекторий управляемых объектов

Галяев Андрей Алексеевич  
Зав. лаб. 38, ИПУ РАН, Москва, Россия

**Всероссийское совещание по проблемам управления  
Июнь, 17, 2024**

# Лаб. 38 «Управление по неполным данным»



Петровский А.М.



Кузнецов Н.А.



Васильев С.Н.



Маслов Е.П.



Рубинович Е.Я.



Галяев А.А.

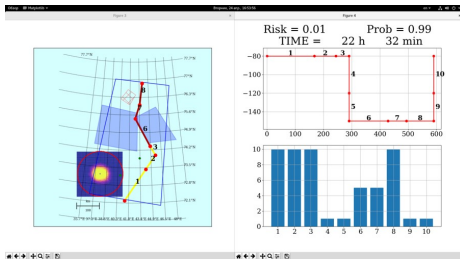
# Лаб. 38 «Управление по неполным данным»

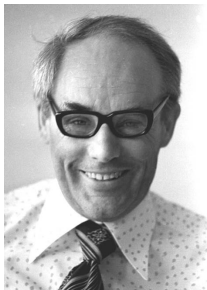
- 1 РР/ТР задачи в условиях противодействия и неполноты информации.
- 2 Задачи траекторного управления наблюдениями.

Теоретические результаты были использованы при решении задач управления управляемыми подвижными объектами морской и ракетной техники, а именно: под руководством Петровского А.М., Маслова Е.П. и далее Галяева А.А. в лаборатории был выполнен ряд НИР и ОКР в сотрудничестве с предприятиями МО: «Разлив», «Туман», «Жизнь», «Энтропия», «Эластик», «Ласта», «Физик», «Альманах», «Нимфа», «Батарейка», «Странник», «Сложность», «Петарда», «Перехват» и многие другие.

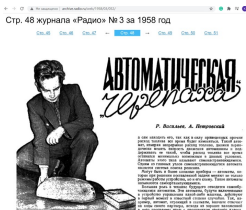
## Прикладные Задачи:

- 1 Разработка бортовых алгоритмов.
- 2 Разработка алгоритмов оперативно-советующих систем.
- 3 Разработка алгоритмов систем принятия решений.
- 4 Разработка алгоритмов тактических симуляторов.





Петровский А.М. (1925-1993)



В конце 1950-х годов А.М. Петровский начал исследования и разработку способов повышения эффективности управляемых снарядов. Исследования охватывали как разработку алгоритмов наведения, так и разработку моделей движения маневрирующих объектов. Результаты этих исследований составили сначала его кандидатскую, а затем и докторскую диссертацию, защищённую в ИАТе в 1966 году. На практике результаты проверялись на реальных объектах, в том числе и Вьетнаме для защиты моста через р. Меконг.

В конце 1960-х годов ведутся работы по **задачам противовоздушной обороны** на базе аналогового вычислительного комплекса Кунцевского механического завода. Работа продолжалась несколько лет и затем трансформировалась в теоретические разработки на тему **«управление подвижными объектами в условиях неполной информации»**.

В 60-70-х годах проводились исследования, связанные с **оптимальным управлением наблюдениями** в задачах наведения снарядов на маневрирующие цели.

Дальнейшим развитием стали исследования, связанные с формализацией и решением задач **противодействия подвижным объектам в условиях искусственно организованной неполноты информации**.





Маслов Е.П. (1936-2019)

Введен новый класс задач теории конфликтно управляемых процессов.

Предложено моделировать противодействие подвижных объектов дифференциально-игровыми и оптимизационными задачами преследования-уклонения групповой цели и дифференциально-игровыми и оптимизационными задачами поиска активно противодействующих подвижных объектов (поиск в условиях конфликта).

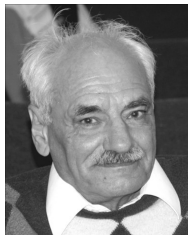
В ходе исследований формализованы для целей управления понятия ложной и групповой цели, впервые сформулированы, введены в научный оборот и решены дифференциальные игры совместного и поочередного преследования с групповой целью (В.К. Ольшанский, Е.Я. Рубинович, Е.П. Маслов).

Показано, что в дифференциальных играх поочередного преследования вектор управлений преследователя имеет специфическую структуру: он содержит собственно закон управления траекторией подвижного объекта и правило выбора очередности встреч с целями. Была предложена математическая формализация схемы выбора и решены дифференциальные игры с программным (Е.Я. Рубинович) и позиционным (Е.П. Маслов, Е.Я. Рубинович) выбором очередности.

Проведено сравнение ряда законов преследования при полностью и частично известном фазовом векторе групповой цели, найдены стратегии поиска в условиях конфликта, реализующие седловую точку.



Рубинович Е.Я.



Червоненкис А.Я.  
(1938-2014)



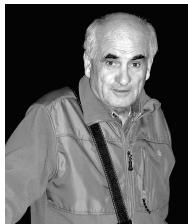
Вапник В.Н.

**Теория Вапника –Червоненкиса** (также известная как **теория VC**) была разработана в 1960-1990 годах В.Н. Вапником и А.Я. Червоненкисом. Теория представляет собой форму вычислительной теории обучения, которая объясняет процесс обучения со статистической точки зрения. Теоретические исследования основывались на фундаментальном результате—условиях равномерной сходимости частот к вероятностям по классу событий. Аналогичные условия были получены для равномерной сходимости средних к математическим ожиданиям по семейству случайных величин. Алгоритмы распознавания образов связаны с **методом обобщённого портрета**, разработанного В.Н. Вапником и А.Я. Червоненкисом в 1964 - 1974 гг.

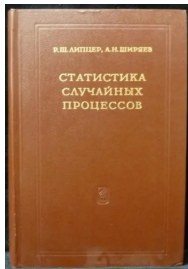
Под руководством А.Я. Червоненкиса были построены модели крупных рудных месторождений по данным геологической разведки. В 1980—1985 гг. совместно с Институтом геологии рудных месторождений АН СССР была создана система для **оптимального автоматического оконтуривания** руд по данным эксплуатационной разведки и для построения сортовых планов в ходе отработки месторождений. Эта работа получила Государственную премию СССР за 1987 год.

Условия равномерной сходимости позволили обосновать сходимость методов обучения, основанных на минимизации эмпирического риска и получить оценки скорости сходимости. К таким методам обучения относятся, том числе, методы построения **кусочно-линейных решающих правил**, минимизирующих число ошибок на материале обучения. Поскольку одним из формальных средств, реализующих **кусочно-линейные правила**, являются нейронные сети, то эта теория используется во всём мире для анализа работы нейронных сетей.

Методы решения получили название **методов структурной минимизации риска**. Сегодня они широко применяются в задачах распознавания образов, восстановления регрессионных зависимостей и при решении обратных задач физики, статистики и других научных дисциплин.



Липцер Р. Ш.  
(1936-2019)



В 1968 г. Р.Ш. Липцер оказался в только что созданной лаборатории А.М. Петровского, куда из расформированной (в связи со смертью заведующего) лаборатории Фельдбаума перешла группа сотрудников во главе с Е.П. Масловым. В том же году защитил кандидатскую диссертацию по физико-математическим наукам, а в 1978 г. — докторскую, но уже по техническим (так решил В.А. Трапезников: в Институте тогда ещё не было Совета, который бы имел право присуждать степень д.ф.м.н.).

Область научных интересов: **теория линейной и нелинейной фильтрации, динамика стохастических систем, мартингалы** — как аппарат приближённого описания вероятностных процессов, диффузионные аппроксимации систем массового обслуживания, теория больших уклонений для полумартингалов.

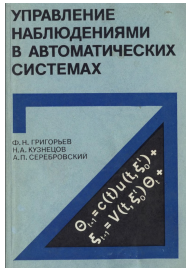
За свою жизнь написал и опубликовал, 10 монографий и более 100 статей (в ведущих научных журналах мира).

Р.Ш. Липцер внес несколько важных вкладов в теорию мартингалов и в их приложения в инженерном деле и статистике: установление свойств условно гауссовых процессов, которые играют важную роль в **принципе разделения в стохастическом управлении**. Его монография «**Статистика случайных процессов: нелинейная фильтрация и смежные вопросы**», написанная совместно с А.Н. Ширяевым в 1974 году, стала всемирно известным справочником среди ученых, работающих в области стохастического анализа и смежных областях.

# Лаб. 38 «Управление по неполным данным»



Кузнецов Н.А.  
Академик РАН



Придя в группу А.М. Петровского в 1962 г., Н.А. Кузнецов в 1966 г. защищает кандидатскую диссертацию «Синтез алгоритмов управления по критерию качества, зависящий от состояния управляемого объекта». Вскоре он корректирует направление исследований и начинает заниматься задачами **оптимальной фильтрации** и их приложениями к различным специальным объектам. Затем его главной научной темой становятся системы управления с переменным критерием качества. Семь лет работы приносят результат: в 1973 г. защищена докторская диссертация. В 1985 г., за работы по созданию системы автоматизации транспортных судов Морфлота СССР Н.А. Кузнецову присуждена Государственная премия СССР.

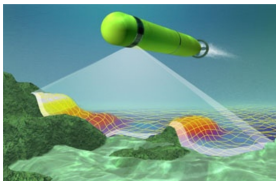
В 1986 г. выходит книга в соавторстве с Ф.Н. Григорьевым и А.П. Серебровским **«Управление наблюдениями в автоматических системах»**, в которой дается систематическое изложение важнейших результатов теории оценивания компонентов условно-гауссовских случайных последовательностей и на их основе решаются различные задачи автоматического управления по неполным данным для систем с управляемыми наблюдениями. Рассматриваются задачи выбора управления переключением каналов наблюдения и методы их решения, задачи **совместной оптимизации управления динамической системой и процессом наблюдения** за ее координатами, обосновывается **принцип разделения**.

Кузнецов Н.А., Липцер Р.Ш., Серебровский А.П. Обобщенное управление наблюдениями в задачах стохастической оптимизации. - VIII Всесоюзное совещание по проблемам управления. Таллин. 1980. Тезисы докладов. М.: ПИК ВИНТИ.

# РР/ТР задачи в условиях противодействия и неполноты информации

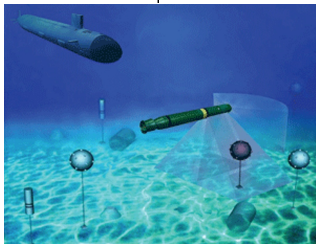
## Задачи:

- 1 Задачи наведения и перехвата, в том числе групповых целей.
- 2 Задачи уклонения от обнаружения поисковыми системами, обратная задача поиска.
- 3 Задачи защиты заданной области.



## Критерии:

- 1 Ресурсные критерии.
- 2 Вероятностные критерии.
- 3 Информационные критерии.
- 4 Временной критерий.
- 5 Точностные критерии.
- 6 Смешанные критерии.
- 7 Многокритериальная оптимизация.



# Задача индикации появления полезного сигнала в сильно зашумленной смеси

Задача обнаружения полезного сигнала  $s(n)$  традиционно сводится к задаче различения двух гипотез

$$\begin{cases} \Gamma_0 : x(n) = w(n), \\ \Gamma_1 : x(n) = s(n) + w(n), \quad n = 1, \dots, N. \end{cases}$$

## Лемма 1

Нормированное упорядоченное распределение спектра имеет вид

$$n_k(N) = -\frac{1}{N \cdot K_N} \ln \frac{k}{N+1}, \quad \text{где } K_N = -\frac{1}{N} \sum_{k=1}^N \ln \frac{k}{N+1}.$$

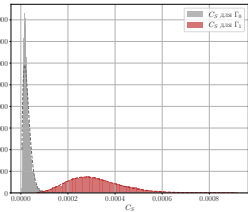
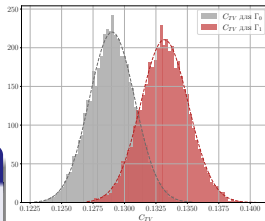
## Определение 1

Спектральной сложностью относительно спектрального распределения (1) назовем величину

$$C_S(p) = -\frac{1}{4 \log_2 N} \left( \sum_{k=1}^N p_k \log_2 p_k \right) \left( \sum_{k=1}^N \left| p_k + \frac{1}{N \cdot K_N} \ln \frac{k}{N+1} \right| \right)$$



А.А. Галяев, В.Г. Бабилов, П.В. Лысенко, Л.М. Берлин Новая спектральная мера сложности и ее возможности по обнаружению сигналов в шуме // Доклады академии наук. 2024. (в печати)



# Трёхмерная космодинамическая задача перехвата одного объекта в космосе

Сквозная оптимизации траектории межпланетного перелёта космического аппарата с единым функционалом.

Сложная динамика, громоздкие постановки, фазирование.

Управление совокупностью динамических систем.

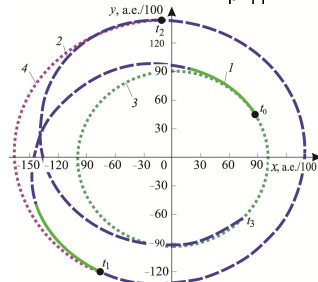
$$\begin{cases} \dot{x}_i = u_i, & \dot{y}_i = v_i, & \dot{z}_i = w_i, & \dot{m}_i = -P_i/C_i, \\ \dot{u}_i = -g_{xi} - \sum \mu_B \frac{x_{Bi}}{r_{Bi}^3} + \frac{P_i}{m_i} \cos \xi_i \cos \eta_i, \\ \dot{v}_i = -g_{yi} - \sum \mu_B \frac{y_{Bi}}{r_{Bi}^3} + \frac{P_i}{m_i} \sin \xi_i \cos \eta_i, \\ \dot{w}_i = -g_{zi} - \sum \mu_B \frac{z_{Bi}}{r_{Bi}^3} + \frac{P_i}{m_i} \sin \eta_i. \end{cases}$$



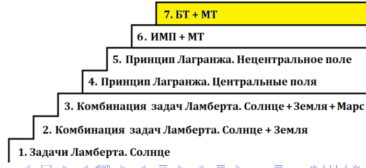
Samokhin A., Samokhina M., Grigoriev I., Zapletin M. Base on Phobos – Much Safer Exploration of Mars without the Need for Humans on the Surface of the Planet // Acta Astronautica. 2023. vol. 204. P. 920-925.

## Экспедиция к Фобосу.

9-точечная краевая задача многих тел 70-го порядка.



Лестница задач.



# Перехват множества целей, движущихся по заданным траекториям в космосе, группой управляемых объектов с оптимизацией по единому критерию

Обход движущихся целей — NP-трудная динамическая задача коммивояжёра (DTSP).

## Разбиение на подзадачи.

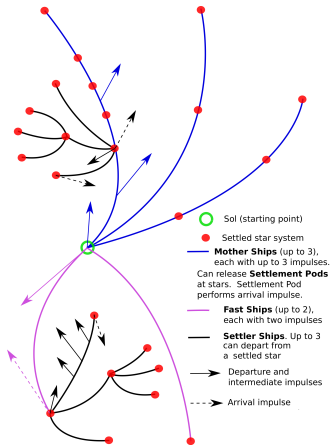
### Склейка различных сортов решений.

- Элементарная операция: перехват одним перехватчиком одной цели.
- Перехват множества целей одним управляемым подвижным объектом.
- Перехват множества целей группой управляемых подвижных объектов.
- Решение задачи сквозной оптимизации с единым критерием оптимизации всей миссии, без разбивания её на подзадачи с разными критериями.

Результат GTOC 10 (Global Trajectory Optimization Competition): построено дерево перехвата 968 объектов.



Samokhina M., Samokhin A. About the 10th edition of GTOC – Settlers of the Galaxy // AIP Conf. Proc., 2021, vol. 2318, No 1, 6 p.



GTOC 10 scheme



# Перехват множества целей в космосе

**Задачи обслуживания:** ремонт, дозаправка, увод с орбиты, установка оборудования, взятие проб, добыча ресурсов.

**Функционалы:**

$J = m_f |\vec{U}_{rel} \vec{v}_{ast}|$  – сила удара по цели;

$J = N_T$  – количество перехваченных целей;

$J = N_i$  – количество перехватчиков, задействованных для выполнения миссии;

$J = \sum \Delta_i$  или  $M_f$  – сумма импульсов, затраты топлива;

$J = \sum M_i$  – добытая масса;

$J = T$  – задача быстродействия.

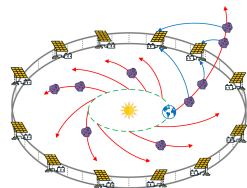
**Метод решения подзадач:**

Ламберт → Лагранж → идеально рег. тяга →  
конечная тяга

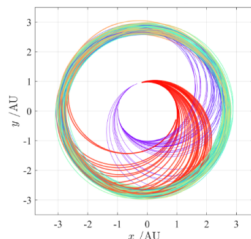
ИПУ РАН представлял Россию в международных соревнованиях GTOC 12 (2023). Результат: разработана миссия по добыче ресурсов с 74 астероидов из 60 тыс. заданных 12-ю аппаратами, каждый астероид посещён дважды.



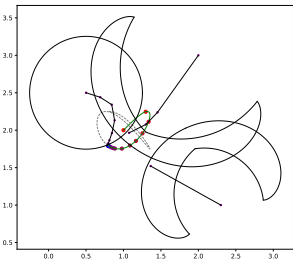
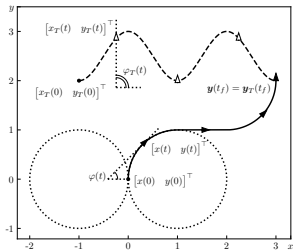
Samokhin A.S., Samokhina M.A., Galyaev A.A. About the GTOC XII problem // 14th Moscow Solar System Symposium, IKI RAS, 2023, p. 284.



GTOC 11, 12 schemes



# Перехват цели, движущейся вдоль известной траектории



- Решена задача наискорейшего перехвата движущейся цели машиной Дубинса (угол перехвата не важен);
- Решена задача наискорейшего бокового перехвата движущейся цели машиной Дубинса;
- Решена задача наискорейшего перехвата частицей в вязкой среде.

Иной взгляд на такие задачи состоит в том, чтобы считать перехватчика препятствием, которое движется *неизвестным образом*, при этом траектория цели — это опорная траектория для объекта управления. Задача состоит в том, чтобы спрогнозировать возможное столкновение при *неполноте данных* о движении препятствия.



*Бузиков М.Э., Галяев А.А.* Перехват подвижной цели машиной Дубинса за кратчайшее время // *АиТ.* 2021. № 5. С. 3-19.



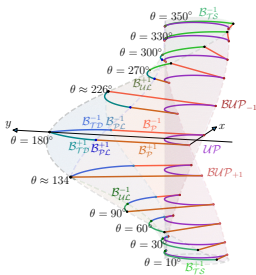
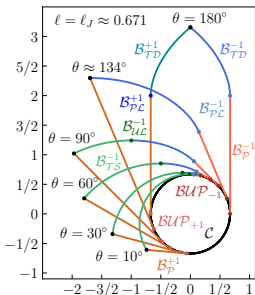
*Buzikov M.E., Galyaev A.A.* Minimum-time lateral interception of a moving target by a Dubins car // *Automatica.* 2022. V. 135. Art. No. 109968.



*Buzikov M.E., Mayer A.M.* Minimum-time interception of a moving target by a material point in a viscous medium // *Automatica.* 2024. Vol. 167. Art. No. 111795.

# Гарантированные управления в игре двух автомобилей

Две машины Дубинса имеют одинаковые скорости и маневренности. Одна пытается обеспечить столкновение, вторая — избежать. *Неполнота данных* заключается в незнании стратегии оппонента в игре. Здесь барьером  $\mathcal{B}$  — это поверхность, которая отделяет область гарантированного избежания столкновения от остального пространства.



- Получен специальный вид представления частей барьера через вектор состояния  $z$

$$\mathcal{P} = \{z \in \mathcal{F}_P^\ell : \ell = \ell_P(z)\} \subset \mathcal{B}.$$

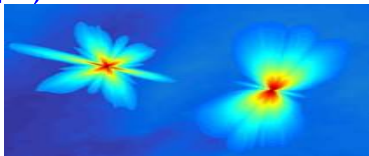
- Получена явная аналитическая форма индикатора вхождения в область избежания столкновения.
- Предложена нечувствительная к плавающей точке схема использования управлений на барьере, гарантирующая избежание столкновений.



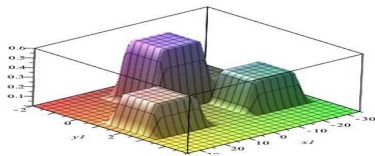
Buzikov M., Galyaev A. The game of two identical cars: An analytical description of the barrier // *J Optim Th Appl.* 2023. V. 198. P. 998–1018.

# Построение поля рисков (угроз)

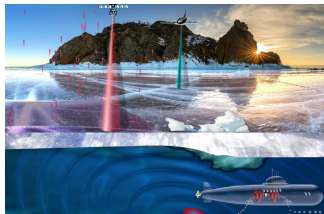
**Подход к построению поля угроз** состоит в методах и алгоритмах обнаружения УО по сигналам **первичных и/или вторичных физических полей**. По известным данным и по излучаемым объектом сигналам полей создается **карта распределения уровней рисков (угроз)**.



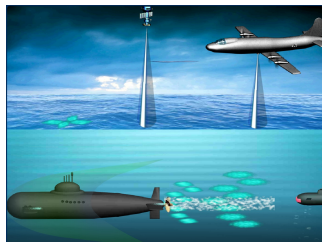
Карта угроз (СГАС на разных глубинах)



Нормированный риск



Обнаружение контраста



Обнаружение аномалий

# Иерархия задач, алгоритмов и формирование критерия

1 **Наблюдение и измерение физического сигнала** **Непрерывный → дискретный.**

2 **Исследование статистических свойств** **Дискретный → непрерывный.**

Вероятность необнаружения на каждом цикле наблюдения

$$P(Q \leq h|H_1) = \Phi \left( \frac{\sqrt{D[Q|H_0]}}{\sqrt{D[Q|H_1]}} \Phi^{-1}(1 - \alpha) - \frac{E[Q|H_1] - E[Q|H_0]}{\sqrt{D[Q|H_1]}} \right),$$

где  $\Phi(x) = \frac{1}{\sqrt{2\pi}} \int_{-\infty}^x \exp(-t^2/2) dt$ .

3 **Применение решающего правила** **Непрерывный → дискретный.**

В отсутствие связи между гидрофонами  $K_{\xi}(f) = \sigma_{\xi}^2 I$ ,  $R_s(f) = I$  ( $I$  — единичная матрица),

$$P(Q \leq h|H_1) = \Phi \left( \frac{\sigma_{\xi}^2 \Phi^{-1}(1 - \alpha)}{\sigma_s^2 + \sigma_{\xi}^2} - \frac{\sigma_s^2 \sqrt{N_F N_H}}{(\sigma_s^2 + \sigma_{\xi}^2) \sqrt{2}} \right).$$

Малое отношение сигнал/помеха

$$P_{nd\ i} = 1 - \alpha - \Phi'(\Phi^{-1}(1 - \alpha)) \cdot \left( \Phi^{-1}(1 - \alpha) + \frac{\sqrt{N_F N_H}}{\sqrt{2}} \right) \frac{\sigma_s^2(i)}{\sigma_{\xi}^2(i)}.$$

4 **Формирование критерия** **Дискретный → непрерывный.**

Полный риск  $R = \sum_{i=1}^N R_i$ ,  $R_i = -\ln P_{nd\ i}$  — риск на  $i$ -м цикле.

Функционал риска в задаче уклонения

$$R = \int_0^T \frac{\sigma_s^2(\cdot, t)}{\sigma_{\xi}^2(\cdot, t)} dt.$$

5 **PP/TP алгоритм** **Непрерывный → дискретный.**

# Вероятностный критерий обнаружения УО

Основным критерием в задачах уклонения УО от обнаружения является вероятность обнаружения, т.е. вероятность обнаружения хотя бы один раз и хотя бы одним наблюдателем за время движения подвижного объекта по маршруту. Оптимизация сводится к нахождению траектории и закона изменения скорости объекта, доставляющих **минимум** указанному критерию, а именно

$$P_{\text{обн}} = 1 - (1 - P_{\text{стац}})(1 - P_{\text{ман}}),$$

где  $P_{\text{обн}}$ ,  $P_{\text{стац}}$ ,  $P_{\text{ман}}$  – вероятности обнаружения УО всей системой средств, стационарными и маневренными средствами, соответственно.

**Вероятность необнаружения** УО отдельным сенсором по результатам обработки последовательности наблюдений за все время его движения

$$P_{\text{необн}}(v, D_i) = \exp \left\{ -\frac{1}{t_0} \int_0^T \left[ \eta + q \frac{\sigma_s^2(v_0, D_0) D_0^k A(f) v^m}{\sigma_\xi^2(t) v_0^m D_i^k} \right] dt \right\}.$$

**Вероятность необнаружения** УО маневренными силами и средствами. Известны:

- расположение и характеристики района, в котором происходит противодействие сторон,
- состав сил и средств обнаружения и тактика их применения.

Основная характеристика модели: **интенсивность поиска**  $\gamma(t, \mathbf{r}, v)$  – среднее число обнаружений УО в единицу времени.

$$P_{\text{обн}} = 1 - \exp \left( - \int_0^T \gamma(t, \mathbf{r}, v) dt \right).$$

Интеграл в круглых скобках – **потенциал поиска**, его значение определяется ТТХ средств обнаружения. Предположение: все средства обнаружения действуют независимо.

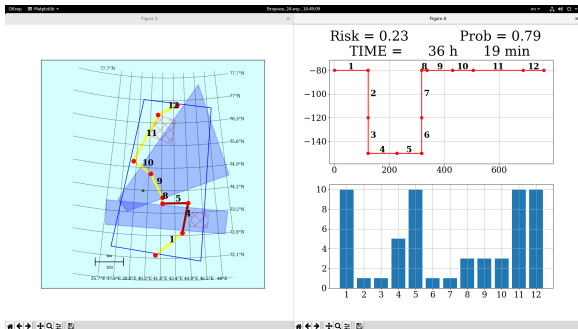
# Энергетический критерий обнаружения

## Функционал риска

$$G = \int_0^T \left[ \sum_{i=1}^N Q_i \frac{v^m}{D_i^K} + \chi_6 \frac{2n_0\theta_0 D_6(v)}{S} v + \chi_{\text{ПН}} \frac{2D_{\text{ПН}}(v, u)}{S} v_{\text{ОТН}} \right] dt.$$

где  $Q_i$  – некоторая константа,  $v$  – скорость движения подвижного объекта,  $D_i$  – текущее расстояние до УО,  $D_6$  – дальность обнаружения объекта пассивным буем, зависящая от скорости движения УО;  $n_0$  – число буев в подрайоне, через который проходит объект;  $\theta_0$  – доля одновременно контролируемых буев;  $S$  – площадь района поиска,  $u$  – скорость патрулирования подвижного наблюдателя;  $v_{\text{ОТН}}$  – средняя скорость движения УО относительно наблюдателя,  $D_{\text{ПН}}(v, u)$  – дальность обнаружения УО подвижным наблюдателем.

Галяев А.А., Маслов Е.П., Яхно В.П., Абрамянц Т.Г. Уклонение подвижного объекта от обнаружения системой наблюдателей: сенсор - маневренное средство // Автоматика и Телемеханика. 2017. №8. 113–126.



# Обобщение РР/ТР задачи

- **Функционал риска на одном звене**

$$G_i = \int_0^{T_i} \left[ \Phi(x, y, v_i, H_i) + \sum_{k=1}^{N_{\text{пн}}} \mathbb{E}(\chi(M_k))(x, y) \gamma_{\text{пнк}}(x, y, v_i, H_i) \right] dt.$$

где  $G_i$  – риск на одном звене,  $l_i$  – длина прямолинейного участка траектории (звена),  $N_l$  – количество звеньев,  $M_k$  – район действия подвижного поискового средства,  $v$  – модуль скорости движения УО,  $H$  – глубина УО.

- **Управления:** координаты звеньев,  $v \in [v_1, \dots, v_{N_v}]$ ,  $H \in [H_1, \dots, H_{N_H}]$ .

- **Функционал риска**

$$G = \sum_i^{N_l} G_i \rightarrow \min_{v, H, \text{звеньям}}.$$

- **Дополнительный функционал**

$$\min N_l, \quad N_l = 1, \dots, N.$$

- **Дополнительное ограничение**

$$|G(N_l) - G(N)| \leq \delta.$$

- **Ограничения 1 типа**

$$\sum_i^{N-l} \frac{l_i}{v_i} \in [T - \Delta T, T + \Delta T].$$

- **Ограничения 2 типа**

$$\sum_{i=1}^{N_l} \int_0^{T_i} [\Phi(x, y, v_i, H_i)] dt \leq C.$$

- **Ограничения 3 типа**

$$\sum_{i=1}^{N_l} \int_0^{T_i} [\mathbb{E}(\chi(M_k))(x, y) \gamma_{\text{пнк}}(x, y, v_i, H_i)] dt \leq C_k.$$





**Zabarankin M., Uryasev S., Pardalos P.**  
Optimal Risk Path Algorithms Cooperative  
Control and Optimization. Eds. R.  
Murphey, P. Pardalos. Dordrecht: Kluwer  
Acad 2002, V. 66, 271–303.

## Задача 1

Нужно найти маршрут  $l$  из т.  $A$  в т.  $B$ ,  
который минимизирует функционал

$$R(l) = \int_l \frac{dl}{r^2},$$

где  $r$  дистанция между сенсором и УО.

### **Дополнительная задача**

$v$  скорость УО постоянна,  $dl = vdt$ . Время  $T$   
движения по маршруту из т.  $A$  в т.  $B$   
фиксировано.

## Задача 2

Нужно найти траекторию  $(r^*(t), \varphi^*(t))$ ,  
которая минимизирует функционал

$$R(r(\cdot), \varphi(\cdot)) = \int_0^T \frac{v^2}{r^2} dt,$$

где  $v$  – скорость УО,  $r$  – дистанция.

Граничные условия

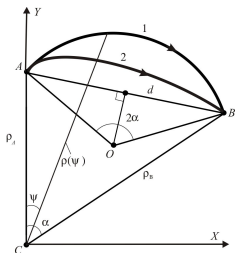
$$r(0) = r_A, r(T) = r_B, \varphi(0) = \varphi_A, \varphi(T) = \varphi_B.$$

Время  $T$  движения по траектории из т.  $A$  в т.  
 $B$  задано.




**Galyaev, A.A., Maslov, E.P., Rubinovich,  
E.Y.** On a motion control problem for an  
object in a conflict environment 2009  
Journal of Computer and Systems Sciences  
International, 48 (3), pp. 458-464.

# Оптимальные траектории



Центр окружности лежит на срединном перпендикуляре к  $AB$ ; положение центра совпадает с вершиной равнобедренного треугольника; величина угла при этой вершине –  $2\alpha$ . Положение сенсора – т.  $C$ ; центр окружности – т.  $O$ .

 **Галяев А.А., Лысенко П.В., Яхно В.П.** Уклонение подвижного объекта от одиночного обнаружителя на заданной скорости // Проблемы управления. 2020. № 1. С. 83-91.

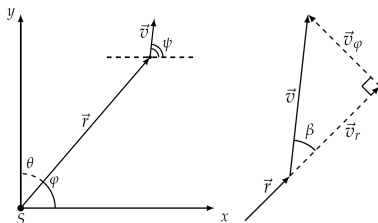


**Galyaev A.A., Dobrovidov A.V., Lysenko P.V., Shaikin M.E., Yakhno V.P.** Path Planning in Threat Environment for UUV with Non-Uniform Radiation Pattern. *Sensors* 2020, 20, 2076.

Мгновенный уровень сигнала

$$S = \left(\frac{v}{r}\right)^\mu G(\varphi)\gamma(r, \varphi)g(\beta),$$

$G(\varphi)$  – диаграмма направленности антенны,  $g(\beta)$  – индикатриса излучения,  $r$  – дистанция,  $v$  – скорость,  $\gamma(r, \varphi)$  – затухание.



# TP задача для УО с неоднородной индикатрисой

## Задача 3

Нужно найти траекторию  $(\rho^*(t), \varphi^*(t))$ , минимизирующую функционал

$$R(\rho(\cdot), \varphi(\cdot)) = \int_0^T S(\rho, \dot{\rho}, \varphi, \dot{\varphi}) dt = \int_0^T (\dot{\rho}^2 + \dot{\varphi}^2)^{\mu/2} g\left(\arctan \frac{\dot{\varphi}}{\dot{\rho}}\right) dt \rightarrow \min_{\rho(\cdot), \varphi(\cdot)} \quad (1)$$

с граничными условиями  $\rho(0) = \rho_A, \rho(T) = \rho_B, \varphi(0) = \varphi_A, \varphi(T) = \varphi_B$ .

## Теорема 1

Пусть  $0 < g_1 < g(\beta) < g_2$  для всех  $\beta \in [0, 2\pi]$  является дважды дифференцируемой функцией от  $\beta$ , где  $g_1, g_2$  - постоянные, и  $\ddot{\rho}(t), \ddot{\varphi}(t)$  существуют и непрерывны. Тогда оптимальная траектория удовлетворяет системе уравнений

$$\begin{cases} \dot{\rho} = const, \\ \dot{\varphi} = const. \end{cases} \quad (2)$$

$$\det \mathbf{H} = (\dot{\varphi}^2 + \dot{\rho}^2)^{\mu-2} (\mu - 1) (g^2(\beta)\mu^2 + g(\beta)g''(\beta)\mu - g'^2(\beta)(\mu - 1)). \quad (3)$$

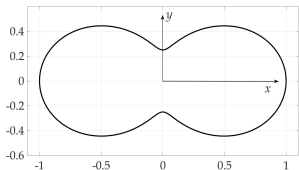
## Теорема 2

Пусть выполнены условия теоремы 1,  $g(\beta)$  - трижды дифференцируемая функция  $\beta$  и  $\det \mathbf{H} > 0$  для всех  $\beta$ . Тогда траектория, удовлетворяющая (2), дает сильный минимум функционалу (1).

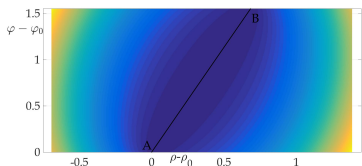
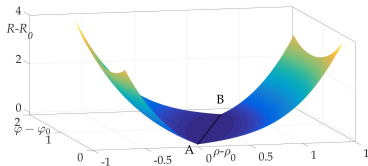
# Пример (случай $\mu = 2$ )

Индикатриса излучения

$$g(\beta) = K_1 + K_2 \cos^2(\beta).$$



$g(\beta)$  при  $K_1 = 0.25$ ,  $K_2 = 0.75$



Условие нормировки  $K_1 + K_2 = 1$ .

Матрица Гессе

$$\mathbf{H} = \begin{pmatrix} 2K_1 & 0 \\ 0 & 2(K_1 + K_2) \end{pmatrix}.$$

Гессиан  $\det \mathbf{H} = 4K_1(K_1 + K_2) = 4K_1$ .

## Следствие 1

На оптимальной траектории значение риска равно

$$R^* = \frac{1}{T} \left( \ln^2 \frac{r_B}{r_A} + K_1^2 (\varphi_B - \varphi_A)^2 \right)$$

и зависит только от граничных условий.



**Galyaev A.A., Lysenko P.V., Yakhno V.P.** Trajectory Optimality Conditions for Moving Object with Nonuniform Radiation Pattern // *Doklady Mathematics*. 2020. Vol. 102. No. 1. pp. 342-345.

# Многозвенные траектории

$$R_{ACB}(\beta_1, \beta_2, T_1, T_2) = \frac{L_1^\mu(\beta_1)}{T_1^{\mu-1}} g(\beta_1) + \frac{L_1^\mu(\beta_2)}{T_2^{\mu-1}} g(\beta_2). \quad (4)$$

## Задача 4

Нужно найти четверку  $(\beta_1^*, \beta_2^*, T_1^*, T_2^*)$ , что дает минимум

$$(\beta_1^*, \beta_2^*, T_1^*, T_2^*) = \arg \min_{\beta_1, \beta_2, T_1, T_2 \geq 0, T_1 + T_2 = T} R_{ACB}(\beta_1, \beta_2, T_1, T_2). \quad (5)$$

## Задача 5

Нужно найти четверку  $(\beta_1^*, \beta_2^*, T_1^*, T_2^*)$ , что дает последовательный минимум  $R_{ACB}(\beta_1, \beta_2, T_1, T_2)$ , такой что

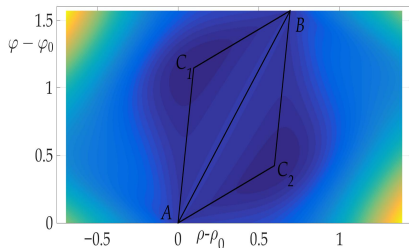
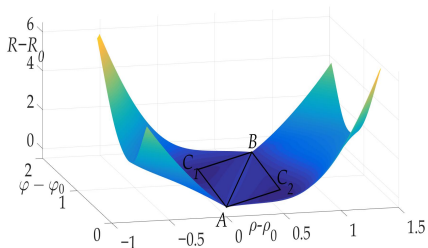
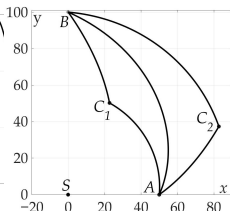
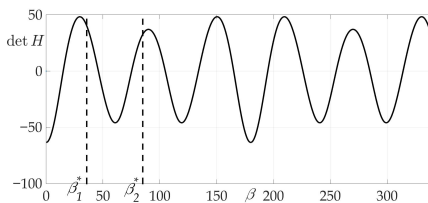
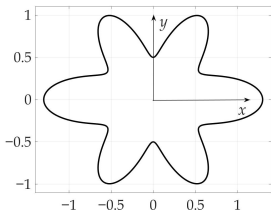
$$R_{ACB}(\beta_1, \beta_2, T_1, T_2) \rightarrow \min_{\beta_1, \beta_2} \left( \min_{T_1, T_2 \geq 0, T_1 + T_2 = T} \right). \quad (6)$$

## Теорема 3

Оптимальные углы  $\beta_1^*, \beta_2^*$  для двузвенной траектории не зависят от  $\beta_0$ , и полностью определяются индикатрисой излучения  $g(\beta)$ , и удовлетворяют системе уравнений

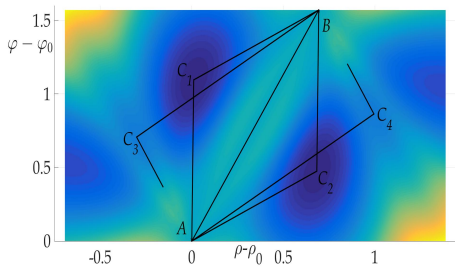
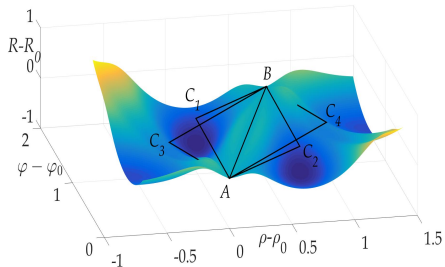
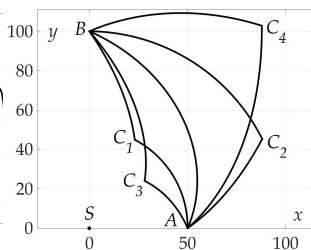
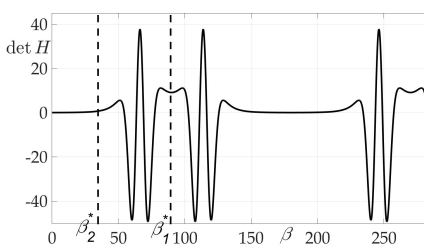
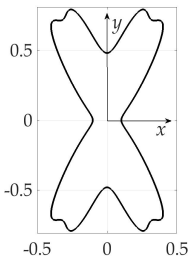
$$\begin{cases} \left( \frac{g(\beta_2)}{g(\beta_1)} \right)^{1/\mu} = \cos(\beta_2 - \beta_1) + \frac{1}{\mu} \sin(\beta_2 - \beta_1) \frac{g'(\beta_1)}{g(\beta_1)}, \\ \left( \frac{g(\beta_1)}{g(\beta_2)} \right)^{1/\mu} = \cos(\beta_2 - \beta_1) - \frac{1}{\mu} \sin(\beta_2 - \beta_1) \frac{g'(\beta_2)}{g(\beta_2)}. \end{cases} \quad (7)$$

# Примеры



Galyaev A.A., Lysenko P.V., Yakhno V.P. 2D Optimal Trajectory Planning Problem in Threat Environment for UUV with Non-Uniform Radiation Pattern // Sensors 2021. 21 (2). 396.

# Примеры



**Galyaev A.A., Lyenko P.V., Yakhno V.P.** 2D Optimal Trajectory Planning Problem in Threat Environment for UUV with Non-Uniform Radiation Pattern // *Sensors* 2021. 21 (2). 396.

# Уклонение и противодействие скрытному перемещению

Для задачи уклонения от обнаружения по критерию  $R$  получены результаты:

## Теорема 1

Если на экстремали  $\{\hat{x}(\cdot), \hat{y}(\cdot), \hat{v}(\cdot), \hat{\varphi}(\cdot)\}$  не было выхода на ограничение  $v \leq v_{max}$ , то путь  $\hat{y}(\hat{x})$  будет соответствовать некоторой экстремали при увеличении  $T$ . Обратное неверно.

## Теорема 2

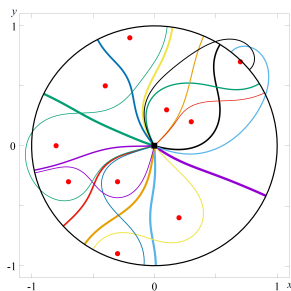
Траектории  $\{\hat{x}(\cdot), \hat{y}(\cdot), \hat{v}(\cdot), \hat{\varphi}(\cdot)\}$  на которых УО пересекает периметр не являются оптимальными.

Обратная задача:  $\max_{(a_i, b_i)} \min_{(x(\cdot), y(\cdot))} R$ , где

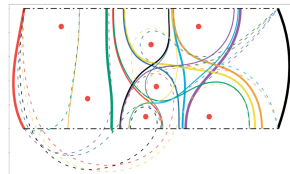
$$R = \int_0^T \left( \sum_{i=1}^N q_i \frac{v^2(t)}{(x(t) - a_i)^2 + (y(t) - b_i)^2} \right) dt.$$



Samokhina M.A., Galyaev A.A. Constructing a Map of Locally Optimal Paths for a Controlled Moving Object in a Threat Environment // Control Sciences 2024. V.1. pp.75–85.



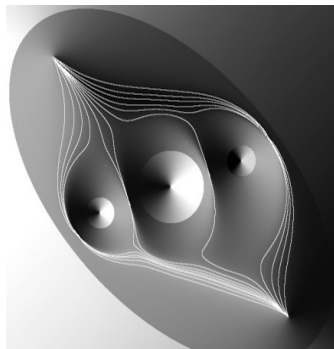
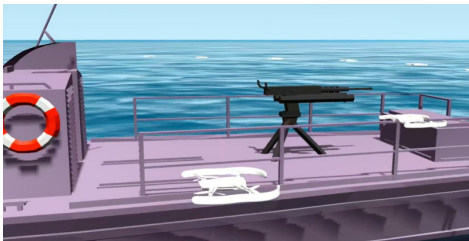
прорыв периметра





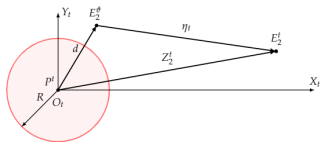
# Задача защиты объектов

Патрулирование конфликтного района группой БПЛА с целью отыскания, преследования подводного объекта - нарушителя. Каждый робот способен менять режимы поиска и преследования при групповых ограничениях или независимо, а также при ограничениях на дальность коммуникаций (прием и отправка сообщений). **Недостаточно дедуктивных, роевых, генетических и подобных методов**, сопрягаемых с логико-динамическим управлением в условиях достаточно простых требований к поведению в среде (поиск и групповой обход препятствий) и при довольно простых динамических моделях АНПА и среды. Требуется поиск недостающей информации и недостающих конструктивных средств достижения цели, с логическим анализом обстановки, в т.ч. путем объяснения наблюдаемого, что требует **интеграции методов и моделей**.



**Buzikov M., Galyaev A., Guryev Yu., Titov K., Yakushenko E., Vassilyev S.** Intelligent Control of Autonomous and Anthropocentric On-board Systems // *Procedia Computer Science*. 2019. Vol. 156. P. 106-113.

# Защита подвижного объекта мобильным защитником



**Динамика** относительного движения системы  
Защитника-SV:

$$\dot{Z}_2^t = u_t - \begin{pmatrix} 1 \\ \Theta_t \end{pmatrix}, \quad u_t = \begin{pmatrix} u_x^t \\ u_y^t \end{pmatrix}.$$

Рис.: Геометрия задачи

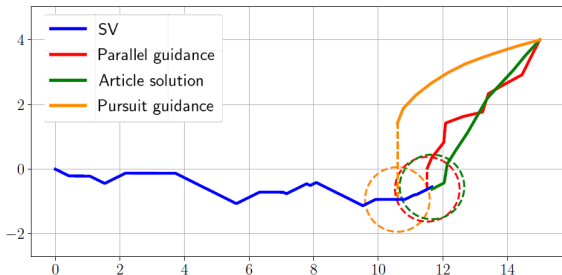
**Ограничение на управление** Защитника:  $|u_t| \leq \beta < 1$ .

**Динамика системы** для относительного вектора  $\eta_t$ :

$$\dot{\eta}_t = u_t + A + B\Theta_t, \quad \eta_0 \triangleq Z_2^0, \quad A = \begin{pmatrix} -1 \\ 0 \end{pmatrix}, \quad B = \begin{pmatrix} 0 \\ -1 \end{pmatrix}.$$

**Критерий оптимизации:**

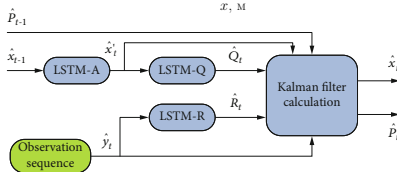
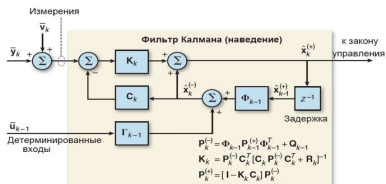
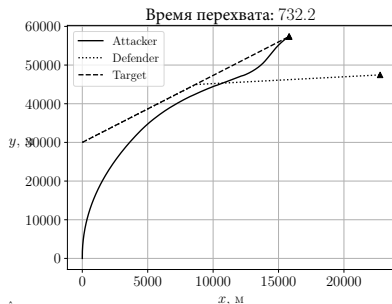
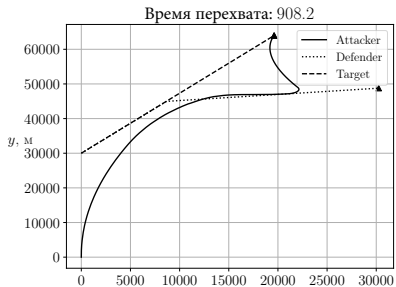
$$\mathbf{E}G(\eta_\vartheta, \Theta_\vartheta) \rightarrow \min_{u_t}, \quad G(\eta_\vartheta, \Theta_\vartheta) = \eta_\vartheta^2 + \gamma\Theta_\vartheta.$$



Galyaev A.A, Lysenko  
P.V, Rubinovich E.Y.  
Optimal Stochastic  
Control in the  
Interception Problem of a  
Randomly Tacking  
Vehicle // Mathematics.  
2021. 9(19):2386.

# Защита подвижного объекта мобильным защитником

Требуется найти  $\alpha_D^* = \arg \max_{\alpha_D} t^*$ , где  $t^*$  — время перехвата.



Галяев А.А., Потапов А.П. Об одном подходе к противодействию алгоритму наведения в ADT-игре // «Актуальные проблемы защиты и безопасности 2024», С-Пб, апрель 2024, 3 стр.

# Морские объекты, требующие защиты

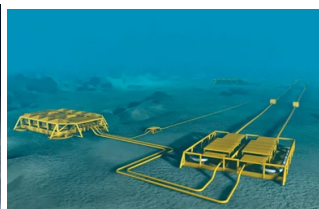
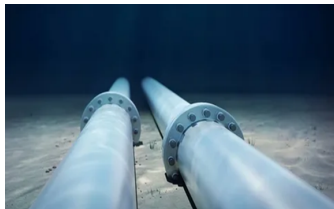


Рис.: Буровые вышки, нефте-газопроводы, подводные хабы, морские порты, морские терминалы, АЭС

# Задача защиты объекта

**Идея:** Атакующим автономным интеллектуальным средствам должны противостоять автономные интеллектуальные защитники.

## Разделы науки:

- Теории фильтрации, поиска объектов и их обнаружения;
- Теория систем и общая теория управления;
- Управление подвижными объектами и навигация;
- Теория и методы разработки программно-аппаратных и технических средств управления и сложных информационно-управляющих систем.

**Сценарии применения:** тактика, в т.ч. оперативная, стратегия, учет внешних факторов и действий противника.

**Платформенные решения:** мультиагентные и сетевые, в т.ч. с использованием интеллектуальных технологий и технологий искусственного интеллекта.

## Последовательность решаемых задач:

- Поиск и обнаружение;
- Распределение целей по защитникам, целеуказание и наведение, с навигацией и коррекцией;
- Поражение объекта.

# Групповое применение перехватчиков

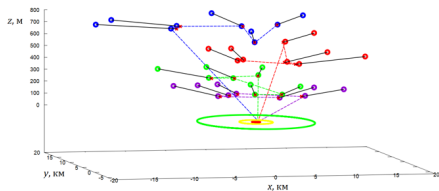
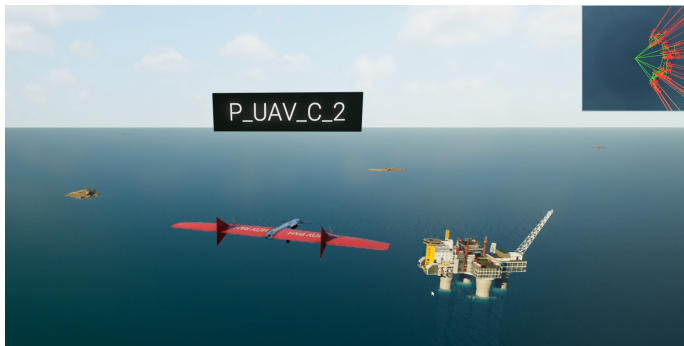


Рис.: Совместный перехват множества целей.

# Задача перехвата нескольких прямолинейно движущихся целей

**Коммивояжер**

**Цель**  $j, j = 1, \dots, m$

**Математическая модель**

$$\begin{cases} \dot{x}^I(t) = v(t) \cos \psi(t); \\ \dot{y}^I(t) = v(t) \sin \psi(t). \end{cases} \quad \mathbf{r}^I(t) = (x^I(t), y^I(t)). \quad \mathbf{r}_j(t) = \mathbf{r}_j^0 + \mathbf{v}_j t \quad (8)$$

**Начальное положение**

$$\mathbf{r}^I(0) = (x^I(0), y^I(0)) = (0, 0) \quad \mathbf{r}_j^0 = (x_j^0, y_j^0)$$

**Ограничения на параметры**

$$\begin{aligned} v(t) &\in [0, V], & |\mathbf{v}_j| &\in [v_{\min}, v_{\max}], \quad v_{\max} < V, \\ \psi(t) &\in [0, 2\pi). & |\mathbf{r}_j^0| &\leq R + \Delta R, \quad \arctg \frac{y_j^0}{x_j^0} \in \left[ \frac{\pi}{2} - \frac{\alpha}{2}, \frac{\pi}{2} + \frac{\alpha}{2} \right]. \end{aligned} \quad (9)$$

**Время перехвата  $\tau$  цели  $j$**

$$\tau(\mathbf{r}_j, \mathbf{v}_j) = \frac{(\mathbf{v}_j, \mathbf{r}_j) + \sqrt{(\mathbf{v}_j, \mathbf{r}_j)^2 + \mathbf{r}_j^2 (V^2 - \mathbf{v}_j^2)}}{V^2 - \mathbf{v}_j^2}, \quad (10)$$

где  $\mathbf{r}_j = \mathbf{r}_j(t) - \mathbf{r}^I(t)$  – вектор относительного положения коммивояжера и цели  $j$ ,  $\mathbf{r}^I(t)$  – текущее положение коммивояжера,  $V$  – максимальная скорость коммивояжера,  $\mathbf{v}_j$  – вектор скорости цели.

# Постановка задачи

**Пространство всех индивидуальных планов** по обслуживанию  $k \in \{0, \dots, m\}$  целей

$$\Pi_k = \left\{ (\pi_1, \dots, \pi_k) \in \mathcal{M}^k : \forall p, q \in \{1, \dots, k\} \quad p \neq q \rightarrow \pi_p \neq \pi_q \right\}.$$

**Пространство всех планов** для заданного количества целей  $m$ :

$$\Pi = \bigcup_{k=0}^m \Pi_k.$$

**Минимальное время**  $T(\pi)$ , которое требуется коммивояжеру для того, чтобы исполнить индивидуальный план  $\pi = (\pi_1, \dots, \pi_k)$

$$T(\pi) = \begin{cases} 0, & k = 0; \\ \tau(\mathbf{r}_{\pi_1}^0, \mathbf{v}_{\pi_1}), & k = 1; \\ t + \tau(\mathbf{r}_{\pi_k}(t) - \mathbf{r}^I(t), \mathbf{v}_{\pi_k}), & k > 1, \text{ здесь } t = T((\pi_1, \dots, \pi_{k-1})). \end{cases} \quad (11)$$

Всякая вошедшая в план  $\pi = (\pi_1, \dots, \pi_k)$  цель должна быть обслужена **вовремя**, т.е. до попадания в начало координат.

$$\text{OnTime}(\pi) = (\forall j \in \{1, \dots, k\} : T((\pi_1, \dots, \pi_j)) \leq t_{\pi_j}).$$

**Множество допустимых планов:**

$$\Pi_A = \{\pi \in \Pi : \text{OnTime}(\pi)\}.$$



# Критерии задачи

Оптимальным решением задачи построения плана обхода является наилучший план  $\pi^* \in \Pi_A$ , который минимизирует значение **функционала потерь**:

$$\pi^* \in \arg \min_{\pi \in \Pi_A} J[\pi]. \quad (12)$$

- **Пропущенные цели + Время исполнения.** Критерий качества получаемых планов выглядит так

$$J_T[\pi] = (n_0[\pi], T_{\text{sum}}[\pi]). \quad (13)$$

- **Пропущенные цели + Наименьшая близость к началу координат.** Критерий качества записывается следующим образом:

$$J_D[\pi] = (n_0[\pi], -D_{\min}[\pi]). \quad (14)$$

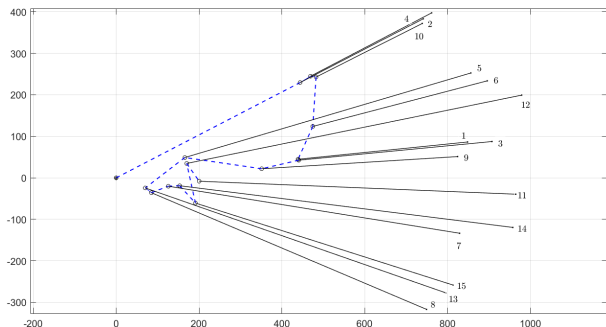
- **Пропущенные цели + Наименьшая близость к началу координат + Время исполнения.** Критерий сформирован из трех основных функционалов

$$J_{DT}[\pi] = (n_0[\pi], -D_{\min}[\pi], T_{\text{sum}}[\pi]). \quad (15)$$

Минимизация такого критерия в первую очередь нацелена на наименьшее количество пропущенных в начало координат целей, во вторую очередь — на максимизацию расстояния самой близкой из приблизившихся целей, и последняя сортировка осуществляется по времени исполнения плана.

## Задача 1

Для  $t$  целей, движущихся по траекториям (8) с ограничениями на параметры движения вида (9), требуется найти оптимальный по критерию (13) или (15) план перехвата  $\pi \in \Pi_A$  коммивояжером с заданной динамикой.



План оптимального перехвата 15 целей коммивояжером по критерию  $J_T[\pi]$ :

$$\pi^* = (2, 4, 10, 6, 1, 3, 9, 5, 13, 8, 7, 14, 15, 12, 11),$$

$$T_{\text{sum}}[\pi^*] = 1448,051,$$

$$D_{\text{min}}[\pi^*] = 74,183.$$

## Определение 2

Опасностью  $K_j$ , которую составляет  $j$ -я цель, назовем величину, обратную времени движения до начала координат, а именно

$$K_j(t) = t_j(t)^{-1}.$$

Опасностью текущей обстановки для  $m$  целей назовем упорядоченный по уменьшению кортеж из величин опасностей

$$(K_{j_1}(t), \dots, K_{j_m}(t)).$$

## Определение 3

Удобством перехвата  $j$ -й цели  $U_j$  назовем величину, обратную времени перехвата этой цели из текущей обстановки, а именно

$$U_j(t) = \tau_j(t)^{-1}.$$

Удобством текущей обстановки для  $m$  целей назовем упорядоченный по уменьшению кортеж из величин удобств

$$(U_{j_1}(t), \dots, U_{j_m}(t)).$$

# Свойства задачи

## Определение 4

Сложностью перехвата  $C[\pi]$  – максимальное время между двумя последовательными перехватами

$$C[\pi] = \max_{\{\pi_j\} \in \pi, 1 < j \leq m} \tau_{\pi_j}(T((\pi_1, \dots, \pi_{j-1}))).$$

## Определение 5

Средней сложностью перехвата  $\hat{C}[\pi]$  – среднее время между двумя последовательными обходами

$$\hat{C}[\pi] = \frac{1}{m-1} \sum_{\{\pi_j\} \in \pi, 1 < j \leq m} \tau_{\pi_j}(T((\pi_1, \dots, \pi_{j-1}))).$$

## Теорема 3

Для любой начальной обстановки и любого количества целей в задаче существует план гарантированного перехвата ( $n_0[\pi] = 0$ )  $\pi \in \Pi_G$ .

## Теорема 4

Для критериев  $J_T[\pi]$  и  $J_{DT}[\pi]$  в Задаче справедливы

- 1) принцип неоптимальности простоя,
- 2) принцип максимальной скорости.

Рассматриваются 1000 различных начальных обстановок, для которых выбраны следующие основные параметры:

- Количество целей  $m = 15$ .
- Центральный угол сектора, где находятся цели  $\alpha = 60^\circ$ .
- Значения  $\|\mathbf{r}_j\|, j = 1, \dots, m$  распределены равномерно на отрезке  $[800, 1000]$ .
- Скорости целей распределены равномерно на отрезке  $[0, 5V, 0, 7V]$ .

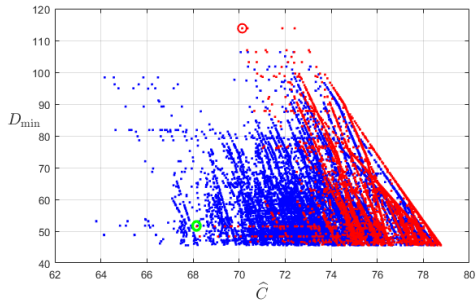
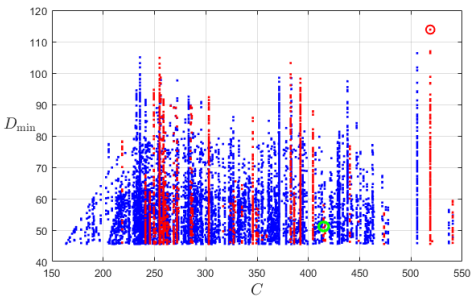
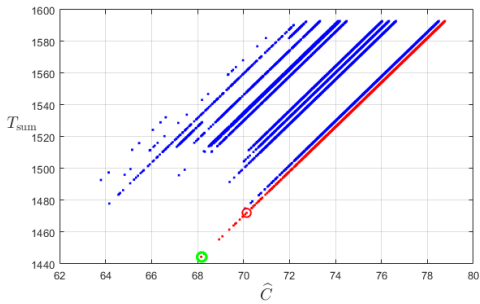
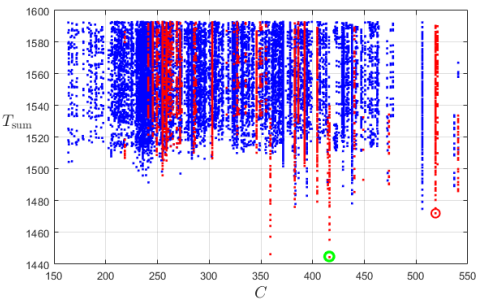
Для каждой обстановки находится ее опасность и удобство, а также оптимальные планы обхода по критериям  $J_T[\pi]$  и  $J_{DT}[\pi]$ , после чего в табл. приводится статистика, как часто первые несколько целей оптимального плана оказываются самыми опасными/удобными.

**Таблица:** Процент совпадений первых четырех целей  $\pi_1^*, \pi_2^*, \pi_3^*, \pi_4^*$  оптимального по критерию  $J_T[\pi]$  плана  $\pi^*$  с соответствующими опасными и удобными целями для 1000 различных начальных обстановок

Номера целей плана $\pi^*$	Количество совпадений $i$ -й цели плана $\pi^*$ с $i$ -й по			
	опасности ( $K_{\pi_i^*} = K_{j_i}$ ), %	удобству ( $U_{\pi_i^*} = U_{j_i}$ ), %	опасности и удобству, %	опасности или удобству, %
Первая цель $\pi_1^*$ ( $i = 1$ )	65,0	65,9	56,8	74,1
Вторая цель $\pi_2^*$ ( $i = 2$ )	32,1	57,6	13,9	75,8
Третья цель $\pi_3^*$ ( $i = 3$ )	19,4	58,5	7,1	70,8
Четвертая цель $\pi_4^*$ ( $i = 4$ )	16,3	57,0	3,8	69,5

**Таблица:** Процент совпадений первых четырех целей  $\pi_1^*, \pi_2^*, \pi_3^*, \pi_4^*$  оптимального по критерию  $J_{DT}[\pi]$  плана  $\pi^*$  с соответствующими опасными и удобными целями для 1000 различных начальных обстановок

Номера целей плана $\pi^*$	Количество совпадений $i$ -й цели плана $\pi^*$ с $i$ -й по			
	опасности ( $K_{\pi_i^*} = K_{j_i}$ ), %	удобству ( $U_{\pi_i^*} = U_{j_i}$ ), %	опасности и удобству, %	опасности или удобству, %
Первая цель $\pi_1^*$ ( $i = 1$ )	61,2	63,0	52,8	71,4
Вторая цель $\pi_2^*$ ( $i = 2$ )	36,6	52,9	13,2	76,3
Третья цель $\pi_3^*$ ( $i = 3$ )	27,5	49,2	7,7	69,0
Четвертая цель $\pi_4^*$ ( $i = 4$ )	24,6	45,7	6,2	64,1





## Результаты

- Разработана концепция по обеспечению непрерывного мониторинга подводной инфраструктуры.
- Разработаны частные математические модели функционирования лёгких АН-ПА, способных в условиях малого времени реакции на внешние угрозы, решать задачи по оценке обстановки, формированию индивидуальных стратегий управления и генерации новых/измененных целей и задач как всей миссии, решающих целевую задачу обеспечения гарантированной защиты морских объектов.
- Разработаны математические модели и алгоритмы для решения задачи перехвата в заданном районе одной или нескольких прямолинейно движущихся целей в различных эшелонах группой автономных защитников.



**Галяев А.А., Яхно В.П., Лысенко П.В., Берлин Л.М., Бузиков М.Э.**

Оптимизация плана перехвата прямолинейно движущихся целей // Автоматика и телемеханика. 2023. № 10. С. 18-36.



**Галяев А.А., Рябушев Е.А.** Поиск субоптимального решения динамической задачи коммивояжера методом Монте-Карло // Автоматика и телемеханика. 2024. № 2. С. 103-119.

Если Ваш план на 1 год — выращивайте рис.

Если Ваш план на 10 лет — сажайте деревья.

Если Ваш план на 100 лет — обучайте детей!

Конфуций

Если Ваш план на 1000 лет — ...

Спасибо за внимание!